

大阪市立大学工学部 正員 倉田 宗章  
” ” 谷 平 魁

1. 概要——異形平板の解法として従来から、階差法、逆莫法等が用いられ、実用解を提供しているようであるが、著者らは、異形平板を解析的に解き得る部分とそうでない部分に分割して、解析解と階差法による近似解を分割線に沿って連続させるという方法を開発し、矩形板に三角形板が接続した形の異形スラブ構を解いてみた。

2. 解法——図-1 の如き相対する平行な 2 辺が単純支持され、その他の辺が自由な異形平板を、図-2 の如く、矩形板と三角形板とに分割し、三角形部分の板のたわみを、 $\alpha$ 、 $\lambda$ 、 $\nu$ 、 $Q$ 、 $R_i$ 、 $N_i$ 、 $M_i$ 、 $m_i$  により表わし、分割線上の網目の真に、不静定反力  $P_i$ 、不静定モーメント  $M_i$  を考え、この不静定力の作用した矩形板の解析解を求め、その不静定力の作用するまで、三角形板と矩形板のたわみとたわみ角とを連続させる。かくして、三角形板の網目の各真のたわみ及、不静定力を未知数として得る連立方程式を解くことにより、板全体の解を求めることが出来る。(解析解の記載省略)

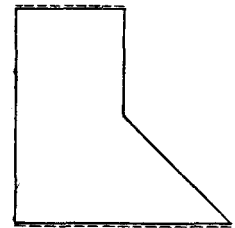


図-1

## a) 三角形板部分の階差式

i) 分割線上の真(図-3 参照)に於ける  $\Delta\Delta w = \frac{q}{D}$  式の  
階差表は表-1 のようになる。

$(1-\nu)\alpha^2$			
$-4(1-\nu)[1+(1+\nu)\alpha^2] 2(2-\nu)$		$-vN_{i+1}L^2 + 2(v+\alpha^2)N_iL^2$	
$2\nu^2 + 6(1-\nu)\alpha^2 + 8(1-\nu) - 4(2-\nu)\alpha^2$	$2\nu^2$	$-vN_{i-1}L^2 + 2\alpha^2 R_i L^3 = \alpha^2 Q L^4$	
$-4(1-\nu)[1+(1+\nu)\alpha^2] 2(2-\nu)$			
$(1-\nu)\alpha^2$			

(表-1)

ここで、 $W = \frac{w}{a}$ ,  $L = \frac{\lambda a}{\alpha}$ ,  $\alpha = \frac{\lambda w}{\lambda a}$ ,  $Q = \frac{qa^2}{D}$ ,  $R_i = \frac{P_i a^2}{D}$ ,  $N_i = \frac{M_i}{D}$ ,  $m_i = \frac{M_i}{\lambda a}$   
 $P_i = \frac{P_i}{\lambda a}$ ,  $w$ ; たわみ,  $q$ ; 分布荷重強度,  $D$ ; 板剛度,  $v$ ; ポアソン比

ii) 分割線より 1 つ内側の  $\nu$  真に於ては表-2 の通りとなる。

$\alpha^2$			
$2\nu$	$-4(1+\alpha^2)$	$2$	
$-2\nu^2 + 2\nu - 4$	$5\alpha^2 + 6\alpha^2 + 8$	$-4(1+\alpha^2)$	$\alpha^2$
$2-\nu$	$-4(1+\alpha^2)$	$2$	
$\alpha^2$			

$-v^2 N_i L^2 = \alpha^2 Q L^4$

(表-2)

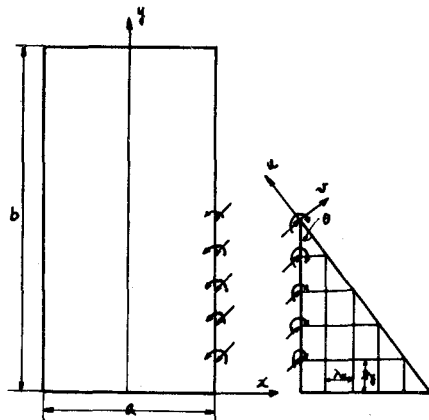


図-2

## iii) 自由辺に於ける境界条件

$$M_{i0}=0; \quad \begin{cases} 2(1-\nu) \sin \theta \cos \theta = l_1 \\ 4(\cos^2 \theta + \nu \sin^2 \theta) = l_2 \\ 4(\sin^2 \theta + \nu \cos^2 \theta) = l_3 \end{cases} \quad \text{とすると} \quad \begin{matrix} \alpha l_1 & -2(\alpha l_2 + l_3) & \alpha^2 l_1 \\ \alpha l_2 & -2(\alpha l_3 + l_1) & \alpha^2 l_2 \\ \alpha l_3 & -2(\alpha l_1 + l_2) & \alpha^2 l_3 \end{matrix} = 0 \quad (\text{表-3})$$

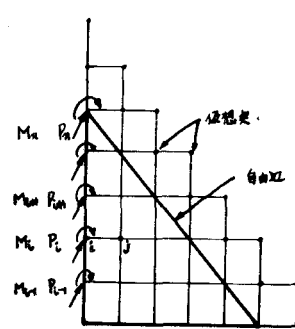


図-3

$$\begin{aligned} V_r = 0; \quad \cos\theta [1 + (1-\nu) \sin^2\theta] = r_1 \\ \sin\theta [(2-\nu) - 3(1-\nu) \cos\theta] = r_2 \\ \cos\theta [(2-\nu) - 3(1-\nu) \sin^2\theta] = r_3 \\ \sin\theta [1 + (1-\nu) \cos^2\theta] = r_4 \end{aligned} \quad \left. \begin{array}{l} \text{とする} \\ \text{右表の通り} \end{array} \right\}$$

iv) 分割線工 i 虎のたわみ角の階差表示は次表の通り

$$w'_i = -\frac{\lambda x^2}{3L} \quad \begin{matrix} \frac{4}{3L} \\ \frac{4}{3L} \end{matrix} \quad -\frac{1}{6L} \quad +\frac{1}{3}NL \quad \text{(表-5)}$$

b) 三角形板内の荷重と不静定反力  $P_i \sim P_m$  とのつり合い。

単純支持 X-X 軸まわりのモーメント = 0 の条件から

$$\sum_{i=1}^{n-1} P_i \cdot i \lambda y^2 + \frac{1}{2} \lambda y \cdot P_m (n \lambda y - \frac{1}{2} \lambda y) = Q_T \cdot r$$

c) 連立方程式の構成 ---- 三角形板内の楕円の虎に於ける  $\Delta \Delta w = \frac{q}{D}$

の式 ---  $\frac{n(n+1)}{2} =$ , 分割線工のたわみの連続の式 ---  $(n+2) =$ , 分割線上のたわみ角の連続の式 ---  $n =$ , 自由辺での反力 = 0 の式 ---  $(n-1) =$ , 自由辺でのモーメント = 0 の式 ---  $m =$ , 不静定反力と荷重とのつり合いの式 ---  $1 =$ . 以上  $[\frac{n(n+1)}{2} + 4m + 2]$  の方程式を連立させて解くことが出来る。(連立方程式の記載は省略する).

### 3. 計算例として

$\frac{b}{a} = 2$ ,  $L = \frac{\lambda x}{a} = \frac{1}{5}$  ( $n=5$ ),  $\theta = 45^\circ$  ( $\alpha=1$ ),  $\nu = \frac{1}{6}$  の場合について計算した結果を図5～8に示す。

最大たわみ量について、三角形板が接続していない場合と比較すると、等分布荷重の場合 ---- 15.4% 大きい。  
 Edge C に集中荷重の載った場合 ---- 10.8% 小さい。  
 矩形板部中央に集中荷重の載った場合 ---- 5.0% 小さい。  
 Edge d に集中荷重の載った場合 ---- 2.8% 小さい。  
 その他の数値については後程説明するつもりである。

$\alpha^2 r_4$	$-2(\alpha^2 r_2 + \alpha^2 r_4)$	$\alpha^2 r_2$
$\alpha^2 r_1$	$2(\alpha^2 r_1 + r_3)$	$-2(\alpha^2 r_1 + r_3)$
$-(\alpha^2 r_1 + r_3)$	$2(\alpha^2 r_1 + \alpha^2 r_2)$	$-(\alpha^2 r_2 - r_3)$
	$-r_4$	

(表-4)  
自由辺

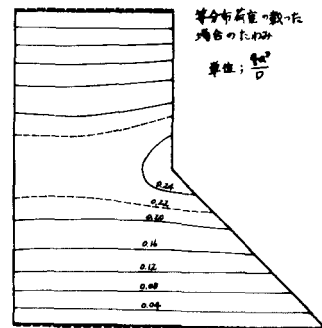
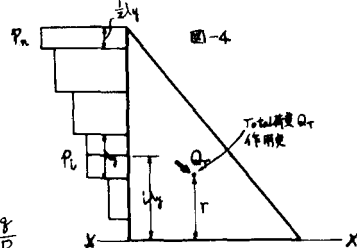


図 5

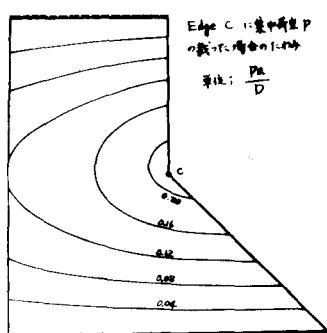


図 6

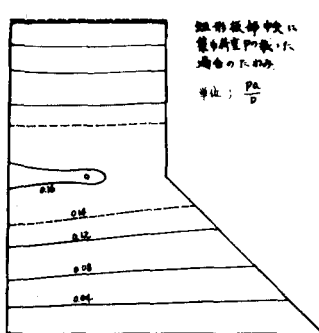


図 7

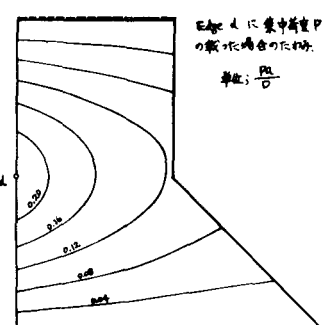


図 8